

## توسعه یک زیست حسگر ایمپدیمتریک مبتنی بر نانو مواد برای شناسایی تراسایکلین در عسل

آیت محمد رزداری<sup>۱</sup>، مهدی قاسمی ورnamخواستی<sup>۲</sup>، سجاد رستمی<sup>۲</sup>، زهراءیزدی<sup>۳\*</sup>، علی اصغر انصافی<sup>۴</sup>

۱- دانشجوی دکتری، گروه مهندسی مکانیک بیوسیستم، دانشکده کشاورزی، دانشگاه شهرکرد

۲- دانشیار، گروه مهندسی مکانیک بیوسیستم، دانشکده کشاورزی، دانشگاه شهرکرد

۳- استادیار، گروه مهندسی مکانیک بیوسیستم، دانشکده کشاورزی، دانشگاه شهرکرد

۴- استاد، گروه شیمی، دانشگاه صنعتی اصفهان

(تاریخ دریافت: ۰۹/۰۶/۹۸ تاریخ پذیرش: ۰۷/۰۴/۹۹)

### چکیده

شناسایی باقیمانده آنتی بیوتیک‌ها در مواد غذایی از جمله عسل از اهمیت خاصی برخوردار است. تاکنون روش‌های مختلفی برای شناسایی آنتی-بیوتیک‌ها در عسل و سایر فرآورده‌های دامی توسعه داده شده‌اند. در سال‌های اخیر ساخت زیست حسگرهای الکتروشیمیایی در ترکیب با نانو مواد توجه زیادی را به خود جلب کرده‌اند. در مطالعه حاضر یک زیست حسگر ایمپدیمتریک مبتنی بر نانو مواد شامل گرافن اکسید احیا شده و نانو ذرات طلا برای شناسایی آنتی بیوتیک تراسایکلین در نمونه‌های عسل توسعه داده شد. از تکنیک‌های ولتاوتمتری چرخه‌ای و طیف‌سنجی امپدانس الکتروشیمیایی برای ارزیابی سطح الکترود کاری استفاده گردید. مقادیر پیک جریان در حالت‌های مختلف به ترتیب ۰/۰۴۸، ۰/۰۶۹ و ۰/۰۲۰ میکرو آمپر برای الکترود اصلاح نشده، تثبیت گرافن، طلا، آپتامر و آنتی بیوتیک دست آمد. مشخصه‌های زیست حسگر شامل تکرار پذیری، تکثیر پذیری، پایداری و گزینش پذیری با استفاده از داده‌های مقاومت انتقال بار مورد ارزیابی قرار گرفت که نتایج حاکی از قابل قبول بودن آن‌ها داشت. به منظور محاسبه درصد ریکاوری غلظت‌های  $1 \times 10^{-9}$  و  $1 \times 10^{-11}$  مولار از تراسایکلین تهیه و در نمونه‌های عسل تزریق گردید. نتایج نشان داد که زیست حسگر پیشنهادی درصد ریکاوری ۹۴/۱ تا ۱۰۳/۴ درصد را برای شناسایی تراسایکلین در نمونه‌های عسل ارائه می‌دهد.

**کلید واژگان:** الکترود مداد گرافیتی، آنتی بیوتیک، نانو ذرات طلا، امپدانس الکتروشیمیایی، مبدل الکتروشیمیایی.

\* مسئول مکاتبات: Izadi.1365@yahoo.com

0/8 فمتو مولار برای شناسایی پنی سیلین در نمونه های شیر حاصل شد [5]. در مطالعه ای دیگر با استفاده از یک زیست حسگر الکتروشیمیایی، حضور آنتی بیوتیک سولفادی متیوکسین در نمونه های گوشت شامل گوشت گاو، مرغ و ماهی رديابی شد. تحت شرایط بهينه، زیست حسگر ساخته شده حد تشخيص  $10^{17} \times 3/7$  مولار را نشان داد. درصد ریکاوری برای شناسایی نمونه های گوشت 92 تا 103 درصد به دست آمد [6].

با توجه به اهمیت امنیت غذایی و اثرات منفی باقیمانده های آنتی بیوتیکی در مواد غذایی هدف از مطالعه حاضر توسعه یک زیست حسگر ایمپدیمتریک مبتنی بر نانو مواد شامل گرافن اکسید احیا شده و نانو ذرات طلا به منظور شناسایی آنتی بیوتیک تتراسایکلین در نمونه های عسل بود.

## 2- مواد و روش ها

### 2-1- دستگاه ها

کلیه بررسی های الکتروشیمیایی با استفاده از دستگاه پتانشیو استات / گالوانو استات (Potentiostat/Galvanostat) (کتروودی شامل کتروود مغر مداد گرافیتی (با قطر 0/7 میلی متر) به عنوان کتروود کاری به علت قیمت ارزان، سازگار بودن با محیط زیست، سطح مکانیکی مناسب و در دسترس بودن، کتروود نقره / نقره کلرید به عنوان کتروود مرجع و پلاتین (به طول 3 میلی متر) به عنوان کتروود کمکی استفاده شد که در سل حاوی 1 میلی مولار فری - فروسیانید حاوی 0/10 مولار پتانسیم کارید به عنوان الکتروولیت قرار داده شد (شکل 1). تمامی آزمایش ها در دمای 23 درجه سلسیوس انجام شد.

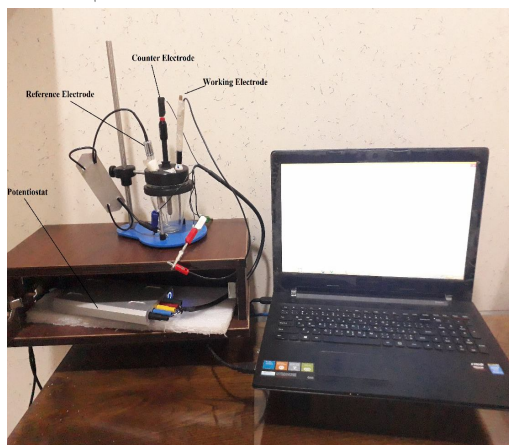


Fig 1 Picture of the measurement system

### 1- مقدمه

عسل حاوی ترکیبات مختلفی از جمله قند، املح معدنی و ویتامین ها است که ممکن است در اثر استفاده نابجا مانند باقی مانده آنتی بیوتیک ها و سموم اثرات منفی بر روی مصرف کننده داشته باشد [1]. به منظور کنترل بیماری ها که ممکن است زنبور عسل به آن دچار شود از آنتی بیوتیک های مختلفی از جمله تتراسایکلین ها استفاده می شود [2]. عموماً باقی مانده این آنتی بیوتیک ها در عسل باقی می مانند که علاوه بر ضرر های اقتصادی که به تجارت عسل وارد می کند مقاومت دارویی و مشکلات گوارشی را برای مصرف کننده نیز در پی دارد [3].

تاکنون روش های مختلفی برای شناسایی آنتی بیوتیک ها در عسل و سایر فرآورده های دامی توسعه داده شده اند. فضل آرا و همکاران (1393) باقی مانده های تتراسایکلین و اکسی تتراسایکلین عسل را با استفاده از روش HPLC رذیابی کردند. این بررسی نشان داد که 23/33 درصد نمونه عسل فاقد هر دو باقی مانده تتراسایکلین و اکسی تتراسایکلین بود در حالی که 51/66 درصد نمونه ها دارای هر دو نوع باقیمانده بودند. در مجموع 76/67 درصد نمونه از مجموع 60 نمونه عسل مورد بررسی از نظر باقیمانده آنتی بیوتیکی، مثبت بوده و اختلاف معنی داری با مقدار صفر اعلام شده از سوی اتحادیه اروپا، و سازمان غذا و دارو داشتند [2]. اگرچه روش های مرسوم شناسایی آنتی بیوتیک ها مانند HPLC و کیت های تشخیصی دقیق و اختصاصی هستند اما وقت گیر، گران قیمت، نیازمند کاربر متخصص و فرآیند پیچیده آماده سازی نمونه هستند. در طی سالیان اخیر استفاده از روش های سریع، اختصاصی و ارزان به عنوان جایگزین مناسب و کارآمد برای روش های مرسوم شناسایی آنتی بیوتیک ها مطرح شده اند [4].

یکی از ابزارهای اندازه گیری کاربردی برای شناسایی میزان باقیمانده آنتی بیوتیک در مواد غذایی استفاده از نانو مواد برای کاربرد در ساخت زیست حسگرهای الکتروشیمیایی است که در سال های اخیر توجه زیادی را به خود جلب کرده است. محمدزاداری و همکاران (2019) یک کتروود مغر مداد گرافیتی اصلاح شده با نانو ورقه های گرافن و نانو ذرات طلا برای شناسایی پنی سیلین در نمونه های شیر را توسعه دادند. نتایج حاصل از این مطالعه نشان داد که در محدوده غلظتی 1 فمتو مولار تا 10 میکرو مولار با افزایش غلظت آنتی بیوتیک، مقاومت انتقال بار نیز افزایش می یابد همچنین حد تشخيص

8- در دمای محیط 30 میلی لیتر آب اکسیژنه به مخلوط اضافه گردید.

9- 10 میلی لیتر از HCl 5 درصد به مخلوط اضافه گردید.

11- به مدت 30 دقیقه هم زده شد و پس از ساکن شدن مخلوط رسوب نمود.

12- تا زمانی که pH محلول مورد نظر به مقدار خشتمی برسد تا آب مقطر شست و شو داده شد.

13- بعد از رسیدن به pH خشتمی، پودر سیاه به دست آمده در دمای اتاق خشک شد.

#### RGO-سترن 2-4-2

1- 12/5 گرم سدیم بور هیدرات در 50 میلی لیتر آب مقطر سرد حل شد.

2- 0/25 گرم از گرافن اکسید در 100 میلی لیتر آب مقطر به مدت دقیقه در 10 سیکل سونیکیت شد.

3- محلول تهیه شده از مرحله یک، به آرامی و قطره قطره به مخلوط مرحله دوم در شرایط حمام یخ روی مگنت استیرر اضافه شد و به مدت 12 دقیقه با دستگاه شیکر در دمای اتاق هم زده شد سپس از فیلتر شد.

4- با استفاده از پمپ خلا و فیلتر نانو، سه مرتبه با آب مقطر شسته شد.

5- در شرایط مرحله چهار، گرافن اکسید به مدت 12 ساعت در دمای اتاق خشک شد.

پودر به دست آمده از مرحله چهار، RGO است که 0/05 از آن در 5 میلی لیتر دی متیل فرم آمید به مدت 45 دقیقه در دمای 15 درجه سلسیوس در شرایط حمام یخ تحت سونیکیت شد. برای هر مرحله استفاده از RGO به مدت 25 دقیقه سونیکیت شد. به منظور ثبیت RGO روی سطح الکترود کاری نیاز بود تا زمان ثبیت آن بهینه شود. برای این هدف، الکترود کاری (به طول 3 میلی متر) برای 60 دقیقه در محلول RGO در دمای 0/1 مولار قرار داده شد. سپس الکترود کاری در محلول بافر فسفات اتاق قرار داده شد. بعد از این مرحله قرار داده شد و تکنیک ولتاوی محدوده پتانسیل 0/1- 0/7+ ولت (10 سیکل) روی آن اعمال شد.

#### 2-5-ثبیت نانو ذرات طلا

بعد از اصلاح سطح الکترود مغز مداد گرافیتی و همچنین زمان ثبیت RGO نانو ذرات طلا (GNP) روی سطح الکترود کاری ثبیت شد. بعد از ثبیت RGO روی سطح الکترود

#### 2-2-مراحل ساخت زیست حسگر

مراحل کلی ساخت زیست حسگر شامل فعال سازی و اصلاح سطح الکترود کاری، ثبیت گرافن اکسید اجیاشده، ثبیت نانو ذرات طلا، ثبیت آپتامر و ثبیت آنالیت موردنظر (آنتی بیوتیک) بود. در تمامی مراحل ساخت زیست حسگر از تکنیک های ولتاوی چرخه ای و امپدانس الکتروشیمیابی بسته به شرایط در محلول 1 میلی مولار فری- فرو سیانید با نسبت 1:1 و 0/1 مولار الکتروولیت سدیم کلرید استفاده گردید.

#### 2-3-اصلاح سطح الکترود کاری

اصلاح سطح الکترود مغز مداد گرافیتی با استفاده از تکنیک ولتاوی چرخه ای صورت گرفت. برای این منظور 40 میلی لیتر از محلول 1 مولار سدیم هیدروکسید درون سل الکتروشیمیابی ریخته شد سپس تکنیک ولتاوی چرخه ای در +1/5 پتانسیل 1/5 ولت اعمال شد. برای این منظور پتانسیل 0/1 ولت در نرخ رویش 40 میلی ولت بر ثانیه در 10 سیکل به سطح الکترود مغز مداد گرافیتی اعمال شد. سپس در محلول 1 میلی مولار فری- فرو سیانید با نسبت 1:1 و 0/1 مولار الکتروولیت سدیم کلرید ولتا گرام جریان بر حسب پتانسیل در نرخ های رویش مختلف ثبت گردید.

#### RGO-4-2-ثبت

#### 1-4-2-سترن گرافن اکسید

به منظور ستنر گرافن اکسید (GO) مراحل زیر بر طبق روش اصلاح شده هامر انجام شد [7]:

1- 2 گرم از NaNO<sub>3</sub> در 96 میلی لیتر اسید سولفوریک ریخته شد و سپس در بشر با مگنت استیرر در حمام یخ هم زده شد.

2- 2 گرم پودر گرافیت به مخلوط مرحله 1 اضافه شد.

3- 12/5 گرم پتانسیم پرمنگنات به تدریج در مدت 90 به مخلوط به دست آمده از مرحله قبل اضافه گردید.

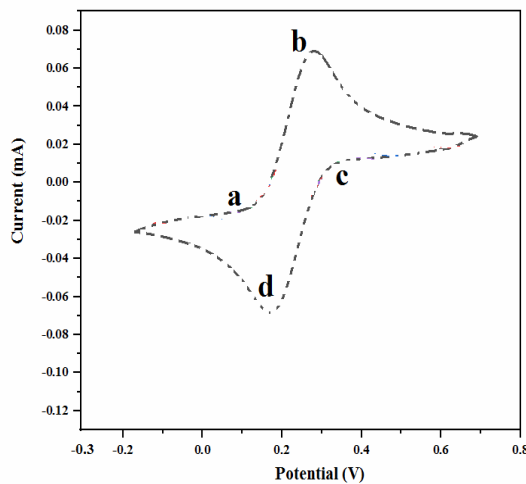
4- بشر در دمای 35 درجه سلسیوس به مدت 1 ساعت تحت هم زدن مداوم قرار گرفت.

5- به آرامی 200 میلی لیتر آب مقطر به مخلوط به دست آمده از مرحله قبل در شرایط حمام یخ افزوده شد.

6- در حمام روغن با دمای 95 درجه سلسیوس در مدت 30 دقیقه هم زده شد.

7- در شرایط مرحله قبل، 600 میلی لیتر آب مقطر به مخلوط اضافه شد.

یافت. کمی بعد از رسیدن به پتانسیل احیای نمونه جریان کاتدی با کاهش غلظت ذرات احیا شونده کاهش خواهد یافت. اگر زوج ردوکس برگشت پذیر باشد در طی رویش برگشت نمونه احیاشده شروع به اکسایش مجدد کرده و باعث ظهر یک جریان آندی (c-d) با قطبیت عکس نسبت به قبل (رویش رفت) می‌شود. هرچه مقدار ذرات جفت ردوکس برگشت پذیر بیشتر باشد شکل پیک اکسایش شباهت بیشتری به پیک احیا خواهد داشت؛ بنابراین داده‌های ولتاویری چرخه‌ای اطلاعاتی در مورد پتانسیلهای ردوکس و سرعت‌های واکنش الکتروشیمیایی فراهم می‌کنند.



**Fig 2** The CV voltammogram

## 2-6-2- طیف سنجی امپدانس الکتروشیمیایی

طیف سنجی امپدانس الکتروشیمیایی تکنیک مؤثری برای مطالعه سرعت انتقال الکترون و انتشار در واکنش‌های الکتروشیمیایی است. ماهیت امپدانس، مقاومت مختلطی است که به هنگام عبور جریان از مدار مشتمل از مقاومت، خازن و القاگر به وجود می‌آید. وقایع الکتروشیمیایی در فصل مشترک الکترود محلول به صورت اجزای مدار الکتروشیمیایی ( مقاومت، خازن و القاگر) رخ می‌دهد [9].

طیف امپدانس چنین مداری می‌تواند برای مطالعه و قایع سطح الکترود بکار رود. با اعمال ولتاژ سینوسی کوچک در فرکانس (ω)، تغییرات جریان (تحت تأثیر مقاومت) اندازه‌گیری می‌شود. طیف حاصل به صورت مقاومت موهومی ( $Z_L$ ) بر  $(Z_R)$  مقاومت واقعی  $(Z_R)$  تحت نام نمودار نایکوئیست (Nyquist) plot) رسم می‌گردد (شکل 3). بخش نیم دایره‌ای در فرکانس‌های بالا به فرایند انتقال الکترون و قسمت خطی (که

کاری اصلاح شده در شرایط بهینه، نانو ذرات طلا روی الکترود کاری اصلاح شده با روش ولتاویری چرخه‌ای در محدوده پتانسیل  $-0.5/0$  تا  $+0.5/1$  ولت، در محلول 3 میلی مolar محلول نمک طلا  $(\text{HAuCl}_4 \cdot 3\text{H}_2\text{O})$  قرار گرفت. سپس الکترود کاری با دیونیزه شسته شد. سپس در محلول 0.10 مolar پتانسیم نیترات به منظور حذف نانو ذرات اضافی، تکنیک ولتاویری چرخه‌ای (در محلول 1 میلی مolar فری- فرو سیانید با نسبت 1:1 و 0.1 مolar الکتروولیت سدیم کلرید) در محدوده پتانسیل  $-0.5/0$  تا  $+0.5/1$  ولت روی سطح الکترود اعمال شد. علاوه بر این، استفاده از پتانسیم نیترات برای خشی کردن بار الکتریکی طلا بود تا بتواند از طریق پیوندهای دی سولفیدی آپتامر که بار منفی دارد را جذب سطح الکترود کند. بعد از ثبیت نانو GNP در شرایط بهینه، محلول آپتامر اختصاصی برای هر آنتی‌بیوتیک روی سطح الکترود کاری اصلاح شده با GNP و RGO قرار گرفت.

## 2-6-2- تکنیک‌های الکتروشیمیایی

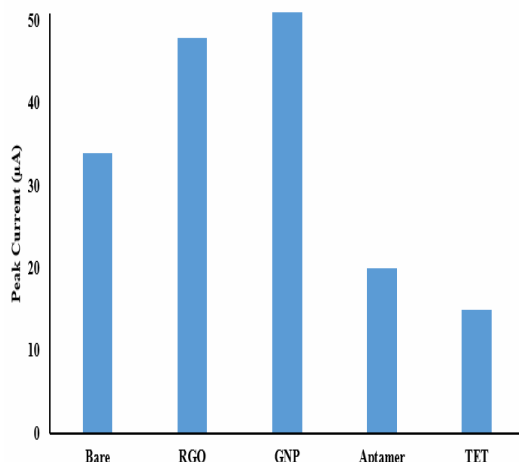
### 2-1-6-2- ولتاویری چرخه‌ای

تکنیک ولتاویری چرخه‌ای اغلب اولین تکنیک مورد استفاده در مطالعات الکتروشیمیایی در دریابی یک ترکیب، مواد بیولوژیکی و یا سطح الکترود است. جریان ایجاد شده در الکترود کاری بر حسب ولتاژ (پتانسیل الکترود مرجع) رسم می‌شود تا نمودار ولتاویری چرخه‌ای به دست آید. در واقع پتانسیل الکترود کاری در مقابل الکترود مرجع کنترل می‌شود. در این تحقیق برای اعمال اختلاف پتانسیل بین الکترودهای کاری و مرجع از روش ولتاویری چرخه‌ای استفاده شد. در تکنیک ولتاویری چرخه‌ای پتانسیل الکترود کاری به صورت خطی با زمان تغییر می‌کند. برخلاف ولتاویری رویش خطی، بعد از رسیدن به یک پتانسیل تعیین شده، پتانسیل الکترود کاری در جهت عکس تغییر می‌کند تا به پتانسیل اولیه بازگردد. این چرخه‌های تغییر پتانسیل می‌توانند به تعداد دلخواه تکرار شوند [8].

در شکل 2 ولتا گرام CV برای محلول 1 میلی مolar فری- فرو سیانید با نسبت 1:1 و 0.1 مolar الکتروولیت سدیم کلرید نشان داده شده است. در طول رویش رفت اولیه به طور فزاینده‌ای پتانسیل کاهشی اعمال شده است؛ بنابراین با فرض وجود نمونه احیا شونده در سیستم، جریان کاتدی (a-b) حداقل در مراحل اولیه در طول این دوره زمانی افزایش خواهد

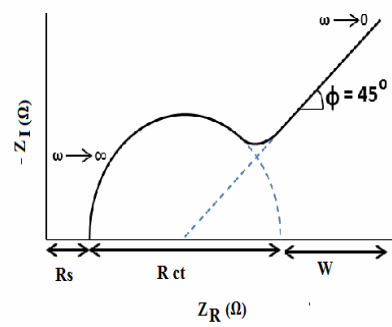
ثانیه) نشان داده شده است. با تثبیت RGO روی سطح الکترود کاری پیک جریان به طور چشمگیری در مقایسه با الکترود Bare افزایش یافت که حاکی از رسانایی RGO دارد. زمانی که GNP روی الکترود کاری اصلاح شده با RGO تثبیت گردید، جریان بیشتر افزایش پیدا کرد. ایزدی و همکاران [11] گزارش کردند که با تثبیت نانو ذرات طلا روی بستر گرافیتی، رسانایی و سطح ویژه بستر گرافیتی افزایش می‌یابد.

بعد از تثبیت رشته آپتامر روی سطح گرافیتی اصلاح شده با GNP و RGO از طریق خودآرایی با GNP، جریان در مقایسه با حالت‌های قبل از آن افت کرد. علت افت جریان بعد از تثبیت آپتامر روی سطح الکترود را می‌توان به دافعه الکترواستاتیک بین بارهای منفی آپتامر و فری-فرو سیانید و همچنین تشکیل لایه مقاوم در سطح الکترود نسبت داد که باعث کاهش انتقال الکtronون بین الکترود مغز مداد گرافیتی و محلول فری-فرو سیانید می‌گردد. کاهش پیک جریان CV بعد از تثبیت آپتامر با نتایج ایزدی و همکاران [11] و رضوانی پناه و همکاران [12] مطابقت دارد. با تثبیت آنتی‌بیوتیک روی سطح الکترود، جریان در مقایسه با حالت قبل بیشتر کاهش پیدا کرد که علت آن را می‌توان در تشکیل لایه مقاوم بر سطح الکترود جویا شد که کاهش انتقال الکtronون و درنتیجه کاهش جریان را در پی دارد. مقادیر پیک جریان در حالت‌های مختلف به ترتیب 0.034، 0.048، 0.069، 0.020 و 0/015 میکرو آمپر برای TET، Aptamer، GNP، RGO، Bare و TET به دست آمد.



**Fig 4** The peak current of different modified electrodes in 1.0 mM  $\text{Fe}(\text{CN})_6^{4/-3-}$  containing 0.1 M KCl, potential range of -0.1 to 0.70 V with scan rate of 50 mV s<sup>-1</sup>

امپدانس واربرگ (W) نامیده می‌شود) در فرکانس‌های پایین به پدیده انتشار مربوط می‌شود. در منحنی نایکوئیست قطر نیم‌دایره نشان‌دهنده مقاومت انتقال بار (Rct) و Rs (charge transfer) نشان‌دهنده مقاومت محلول می‌باشد. طیف‌سنجی امپدانس الکتروشیمیایی یکی از مهمترین روش‌های مشخصه‌یابی شامل مطالعه سرعت انتقال الکtronون و پدیده انتشار در واکنش‌های الکتروشیمیایی است. همچنین برهمکنش اختصاصی در سطح الکترود کاری، با تأثیر بر مقاومت الکترود در برابر جریان عبوری نیز با مطالعه طیف امپدانس قابل‌ردیابی است. در مطالعه حاضر به منظور اندازه گیری مقاومت انتقال بار در قبل و بعد تثبیت آنالیت از این تکنیک استفاده گردید. در تحقیق حاضر برای تکنیک امپدانس از محدوده فرکانس  $0/1-10^5$  هرتز و پتانسیل 0/15 ولت استفاده شد [10].



**Fig 3** The Nyquist plot

### 3- نتایج و بحث

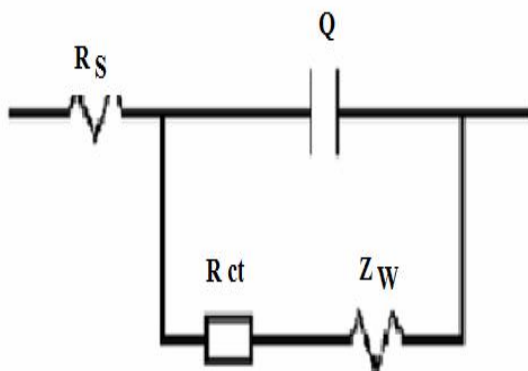
#### 3-1- ارزیابی الکتروشیمیایی زیست حسگر

##### 3-1-1- ارزیابی با تکنیک CV

یکی از تکنیک‌های مؤثر و کاربردی به منظور بررسی تغییرات سطح الکترود برای ساخت زیست حسگر CV است. در شکل 4- پیک جریان در مراحل مختلف ساخت زیست حسگر شامل الکترود اصلاح نشده (Bare)، الکترود اصلاح شده با GNP، الکترود اصلاح شده با Aptamer، RGO و TET روی سطح الکترود در محلول 1 میلی مولار فری-فرو سیانید با نسبت 1:1 و 0/1 مولار الکتروولیت سدیم کاربید (در محدوده پتانسیل 0/7 ولت و نرخ روبش 50 میلی ولت بر

این لایه مانع از رسیدن یون‌های فری-فرو سیانید به سطح الکترود شد که در پی آن مقاومت انتقال بار در مقایسه باحالت قبل بیشتر افزایش پیدا کرد. همچنین وقتی تراسایکلین روی مکان‌های فعال سطح الکترود (رشته‌های آپتامر) را پر می‌کند فرایند انتقال الکترون‌ها را محدود می‌کند [13].

به منظور فیت کردن داده‌های امپدانس الکتروشیمیابی از یک مدار الکتریکی معادل استفاده شد. در این تحقیق از مدل رندرس (Randles) برای این هدف استفاده شد. لازم به ذکر است که برای تمامی داده‌ها از این مدل استفاده گردید که در شکل 6 طرح شماتیک آن آورده شده است که در آن،  $R_s$  معرف مقاومت محلول،  $Q$  مریبوط به لایه دوگانه خازنی در فصل مشترک محلول و الکترود که به طور موازی با مقاومت انتقال بار ( $R_{ct}$ ) و امپدانس واربرگ ( $Z_w$ ) هستند.



**Fig 6** Equivalent circuit used to fitting of EIS data

### 2-3-بررسی مشخصه‌های زیست حسگر

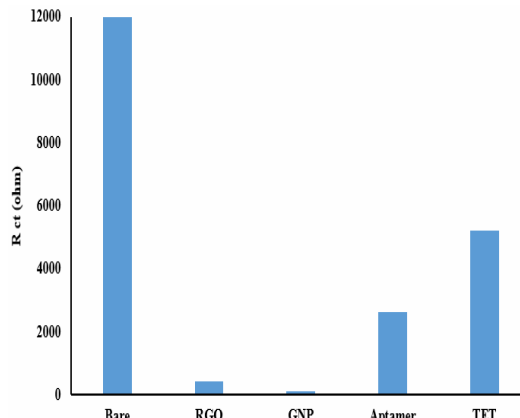
#### 3-1-2-3- تکرارپذیری

تکرارپذیری با ساخت یک زیست حسگر در شرایط بهینه که  $RGO$  و  $GNP$  روی آن ثبیت شده بودند درون محلول آنتی‌بیوتیک با غาlect  $1 \times 10^{-9}$  مولار ارزیابی شد و  $EIS$  در پنج مرتبه اندازه‌گیری متوالی برای آن ثبت گردید. مقدار  $RSD$  برای داده‌های مقاومت انتقال بار ۴/۲ درصد محاسبه گردید که نشان از تکرارپذیر بودن زیست حسگر نسبت به آنتی‌بیوتیک تراسایکلین دارد. در شکل 7 مقدار تغییرات مقاومت انتقال بار برای هر مرتبه اندازه‌گیری نشان داده شده است.

### 2-1-3- ارزیابی با تکنیک EIS

علاوه بر تکنیک  $CV$ ، از تکنیک  $EIS$  نیز برای ارزیابی مقاومت انتقال بار در سطح الکترود اصلاح شده گرافیتی با نانو مواد در مراحل مختلف ساخت و ثبیت آپتامر و آنتی‌بیوتیک تراسایکلین در محلول ۱ میلی مولار فری-فرو سیانید با نسبت ۱:۱ و ۰/۱ مولار الکتروولیت سدیم کلرید استفاده شد. تکنیک  $EIS$  یک روش مناسب و کارآمد برای نشان دادن تغییرات سطح الکترود است. در منحنی نایکوئیست همان‌طور که در بخش 2-6-2 ذکر شد بخش نیم‌دایره‌ای در فرکانس‌های بالا به فرایند انتقال الکtron مرتبط است و بخش خطی به پدیده نفوذ مریبوط می‌شود.

در شکل 5 داده‌های مقاومت انتقال بار در مراحل مختلف ساخت الکترود و ثبیت آپتامر و آنتی‌بیوتیک تراسایکلین نشان داده شده است. بعد از ثبیت  $GNP$  و  $RGO$  مقاومت انتقال بار کاهش بسیار چشم‌گیری داشته است که حاکی از رسانایی بالا آن‌ها دارد. در واقع بعد از اصلاح الکترود و با ثبیت  $GNP$  و  $RGO$  روی الکترود، به دلیل قابلیت رسانایی خوب، مقاومت انتقال بار در مقایسه با الکترود اصلاح نشده کاهش یافته است.



**Fig 5** The  $R_{ct}$  value of different modified electrodes in  $5.0\text{ mM }Fe(CN)_6^{4/3-}$  containing  $0.1\text{ M KCl}$ , potential range of -0.1 to 0.70 V with scan rate of  $50\text{ mV s}^{-1}$

بعد از ثبیت آپتامر روی سطح الکترود اصلاح شده با  $RGO$  و  $GNP$ ، با ایجاد لایه خودآرایی انتقال الکtron کاهش یافت که منجر به افزایش مقاومت انتقال بار شده است. در اثر اتصال بین آپتامر و آنتی‌بیوتیک تراسایکلین، یک لایه مقاوم ایجاد شد که

محلول ۱ میلی مولار فری- فرو سیانید با نسبت ۱:۱ و ۰/۱ مولار الکتروولیت سدیم کلرید با تکنیک EIS ثبت گردید. همانطور که در جدول ۱ آورده شده است بعد از گذشت ۲۱ روز تنها ۵/۳ درصد از پاسخ اولیه زیست حسگر کم شده است که پایداری مطلوب زیست حسگر را نشان می‌دهد. بهات و همکاران [14] نشان دادند که سرعت واکنش‌های رهاسازی DNA در دمای ۴ درجه سلسیوس از سطح الکترود کاهش می‌یابد.

**Table 1.** Biosensor stability on different days of storage

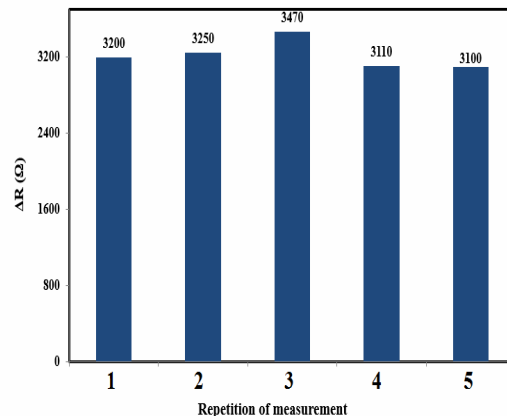
days of storage	Rct ( $\Omega$ )
1	3370
3	3311
6	3296
9	3261
12	3231
15	3204
18	3200
21	3191

علت پایداری الکترود را می‌توان به محافظت از آپتامر توسط نانوذرات طلا در سطح الکترود نسبت داد؛ بنابراین دمای ۴ درجه سلسیوس به عنوان بهترین دمای ذخیره‌سازی زیست حسگر در نظر گرفته شد.

#### 3-4-2-3-گزینش پذیری

برای بررسی گزینش پذیری زیست حسگر نسبت به تراسایکلین، آنتی‌بیوتیک‌های دیگر شامل استرپتومایسین (STP)، سولفادیازین (SUL) و پنی‌سیلین جی (GNP) مورد استفاده قرار گرفتند. برای این منظور سه زیست حسگر در شرایط بهینه ساخته شدند و بعد از تثبیت RGO و GNP و آپتامر روی آن‌ها، الکترود به مدت ۹۰ دقیقه درون غلظت مشخصی از آنتی‌بیوتیک‌های مذکور قرار گرفت. همانطور که در شکل ۹ نشان داده شده است، زیست حسگر اختصاصی تراسایکلین پاسخ قابل توجهی به سایر آنتی‌بیوتیک‌ها از خود نشان نداد که نشان‌دهنده این است که زیست حسگر به خوبی توانست با آنالیت خود اتصال پیدا کند بنابراین زیست حسگر ساخته شده را می‌توان برای شناسایی کمی و کیفی تراسایکلین در نمونه‌های عسل بکار گرفت.

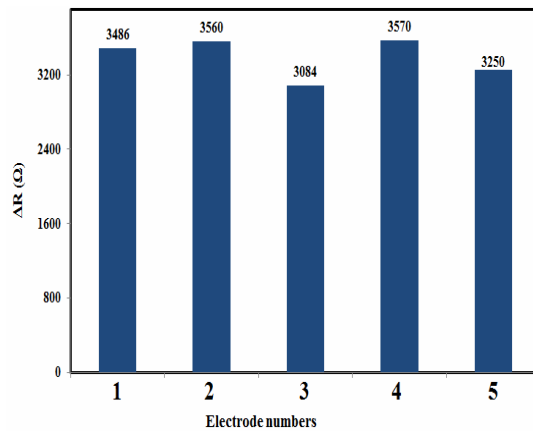
علت این موضوع را می‌توان به تثبیت آپتامر اختصاصی آنتی‌بیوتیک تراسایکلین روی سطح الکترود و اتصال با آنالیت موردنظر خود (تراسایکلین) نسبت داد [5].



**Fig 7** Biosensor repeatability results for five measurement times for detection of tetracycline

#### 2-2-3- تکثیر پذیری

به منظور بررسی تکثیر پذیری زیست حسگر، تعداد پنج الکترود کاری به طور مستقل تحت شرایط بهینه ساخته شد و برای مدت ۹۰ دقیقه درون محلول آنتی‌بیوتیک تراسایکلین  $1 \times 10^{-9}$  مولار غوطه‌ور شد. با ثبت داده‌ای مقاومت انتقال بار مشخص گردید که درصد RSD برای این پنج زیست حسگر ۵/۶ می‌باشد که حاکی از تکثیر پذیر بودن زیست حسگر دارد. در شکل ۸ مقدار تغییرات مقاومت انتقال بار برای پنج الکترود نشان داده شده است.

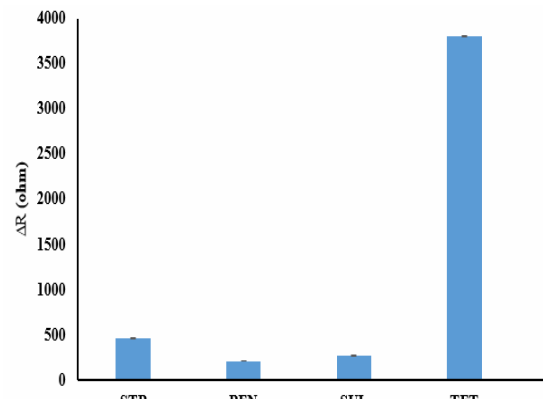


**Fig 8** Reproducibility results of five biosensors for tetracycline detection

#### 3-2-3- پایداری

به منظور بررسی پایداری زیست حسگر، به طور مستقل چهار زیست حسگر در شرایط یکسان ساخته شد و به مدت سه هفته در دمای ۴ درجه سلسیوس ذخیره شد. میانگین داده‌های مقاومت انتقال بار در فاصله زمانی هر سه روز یکبار در

تراسایکلین در نمونه‌های عسل ارزیابی شد. برای این منظور در محلول ۱ میلی مولار فری-فرو سیانید با نسبت ۱:۱ و ۰/۱ مولار الکتروولیت سدیم کلرید با تکنیک EIS داده‌های مقاومت انتقال بار ثبت گردید. برای این منظور غلاظت‌های  $1 \times 10^{-9}$  و  $1 \times 10^{-11}$  مولار از تراسایکلین تهیه و در نمونه‌های عسل تزریق شد. بر طبق نتایج بدست‌آمده از داده‌های مقاومت انتقال بار، درصد ریکاوری زیست حسگر از نسبت مقدار شناسایی شده به مقدار تزریق شده به نمونه‌های عسل در محدوده ۹۴/۱ تا ۱۰۳/۴ برای شناسایی تراسایکلین محاسبه شد (جدول ۲).



**Fig 9** Selectivity of biosensor towards TET in the presence of other antibiotics

### 3-3- شناسایی تراسایکلین در نمونه‌های عسل

کاربرد عملی زیست حسگر از طریق شناسایی آنتی‌بیوتیک

**Table 2** Determination of TET by means of impedimetric biosensor in honey samples

Added value (M)	Detected <sup>a</sup> (M)	Recovery (%)	RSD <sup>b</sup> (%)
$1 \times 10^{-9}$	$(0.941 \pm 0.062) \times 10^{-9}$	94.1	6.6
$1 \times 10^{-11}$	$(1.034 \pm 0.083) \times 10^{-11}$	103.4	8.0

<sup>a</sup> Average of three measurements  $\pm$  standard deviation. <sup>b</sup> relative standard deviation

### 5- منابع

- [1] Li, J., Chen, L., Wang, X., Jin, H., Ding, L., Zhang, K., and Zhang, H. (2008). Determination of tetracyclines residues in honey by on-line solid-phase extraction high-performance liquid chromatography. *Talanta*, 75(5), 1245-1252.
- [2] Fazlara, A., Najafzadeh Varzi, H., and Izadi, B. (2014). Survey on tetracycline and oxytetracycline antibiotic residues in honeys produced in some honey hives in Khuzestan province using HPLC method. *Iranian Veterinary Journal*. 10, 65-73.
- [3] Bogdanov, S., Haldimann, M., Lugimbühl, W., and Gallmann, P. (2007). Minerals in honey: environmental, geographical and botanical aspects. *Journal of Apicultural Research*, 46(4), 269-275.
- [4] Mohammad-Razdari, A., Ghasemi-Varnamkhasti, M., Ensafi, A., Izadi, Z., and Bonyadian, M. (2019). Fabrication of an amperometric aptasensor for determination of antibiotic amount residues in milk. *Food Science and Technology*, 16(89), 47-57.
- [5] Mohammad-Razdari, A., Ghasemi-Varnamkhasti, M., Izadi, Z., Ensafi, A. A., Rostami, S., and Siadat, M. (2019). An

در این مطالعه، یک زیست حسگر ایمپدیمتریک مبتنی بر نانو مواد شامل گرافن اکسید احیاشده و نانو ذرات طلا برای شناسایی آنتی‌بیوتیک تراسایکلین در نمونه‌های عسل توسعه داده شد. نتایج حاصل از تکنیک CV نشان داد که ثبت نانو مواد بر روی سطح الکترود مغز مداد گرافیتی پیک جریان افزایش می‌یابد در حالی که با ثبت آپتامر و آنتی‌بیوتیک تراسایکلین بر روی الکترود پیک جریان به‌طور چشمگیری کاهش پیدا می‌کند. نتایج حاصل از تکنیک EIS نیز تأیید کننده نتایج CV بود به عبارت دیگر با ثبت نانو مواد، مقاومت انتقال بار کاهش یافت در حالی که با ثبت آپتامر و آنتی‌بیوتیک تراسایکلین مقدار مقاومت انتقال بار افزایش یافت. ارزیابی ارقام شایستگی نشان داد که زیست حسگر ساخته شده برای شناسایی عسل تکرار پذیری، تکثیر پذیری، پایداری و گزینش پذیری قابل قبولی دارد. با تزریق غلاظت‌های مختلف تراسایکلین کاربرد عملی زیست حسگر در نمونه‌های عسل ارزیابی شد بر طبق نتایج بدست‌آمده از داده‌های مقاومت انتقال بار، درصد ریکاوری زیست حسگر در محدوده ۹۴/۱ تا ۱۰۳/۴ برای شناسایی تراسایکلین حاصل شد.

- [10] Hajkova, A., Barek, J., and Vyskocil, V. (2017). Electrochemical DNA biosensor for detection of DNA damage induced by hydroxyl radicals. *Bioelectrochemistry*. 116: 1-9.
- [11] Izadi, Z., Sheikh-Zeinoddin, M., Ensafi, A. A., and Soleimanian-Zad, S. (2016). Fabrication of an electrochemical DNA-based biosensor for *Bacillus cereus* detection in milk and infant formula. *Biosensors and Bioelectronics*, 80, 582-589.
- [12] Razavipanah, I., Rounaghi, G.H., Deiminiat, B., Damirchi, S., Abnous, K., Izadyar, M., and Khavani, M. (2019). A new electrochemical aptasensor based on MWCNT-SiO<sub>2</sub>@ Au core-shell nanocomposite for ultrasensitive detection of bisphenol A. *Microchemical Journal*. 146: 1054-1063.
- [13] Ensafi, A. A., Akbarian, F., Heydari-Soureshjani, E., and Rezaei, B. (2018). A novel aptasensor based on 3D-reduced graphene oxide modified gold nanoparticles for determination of arsenite. *Biosensors and Bioelectronics*, 122, 25-31.
- [14] Bhatt, N., Huang, P.J.J., Dave, N., and Liu, J. (2011). Dissociation and degradation of thiol-modified DNA on gold nanoparticles in aqueous and organic solvents. *Langmuir*. 27: 6132-6137.
- [15] Mohammad-Razdari, A., Ghasemi-Varnamkhasti, M., Izadi, Z., Rostami, S., Ensafi, A. A., Siadat, M., and Losson, E. (2019). Detection of sulfadimethoxine in meat samples using a novel electrochemical biosensor as a rapid analysis method. *Journal of Food Composition and Analysis*, 82, 103252.
- [16] Rezaei, B., Jamei, H.R., and Ensafi, A.A. (2018). An ultrasensitive and selective electrochemical aptasensor based on RGO-MWCNTs/Chitosan/carbon quantum dot for the detection of lysozyme. *Biosensors and Bioelectronics*. 115: 37-44.
- [17] Zhang, J., Li, Z., Zhao, S., and Lu, Y. (2016). Size-dependent modulation of graphene oxide–aptamer interactions for an amplified fluorescence-based detection of Aflatoxin B1 with a tunable dynamic range. *Analyst*. 141: 4029-4034.
- [18] Mandli, J., Mohammadi, H., and Amine, A. (2017). Electrochemical DNA sandwich biosensor based on enzyme amplified microRNA-21 detection and gold nanoparticles. *Bioelectrochemistry*. 116:17-23.

## **Development of an impedimetric biosensor based on nanomaterial for determination of tetracycline in honey**

**Mohammad-Razdari, A.<sup>1</sup>, Ghasemi-Varnamkhasti, M.<sup>2</sup>, Rostami, S.<sup>2</sup>, Izadi, Z.<sup>3\*</sup>, Ensafi, A.<sup>4</sup>**

1. Ph.D. student, Department of Mechanical Engineering Biosystems, Faculty of Agriculture, Shahrekord University, Shahrekord, Iran
2. Associate Professor, Department of Mechanical Engineering of Biosystems, Faculty of Agriculture, Shahrekord University.
3. Assistant Professor, Department of Mechanical Engineering of Biosystems, Faculty of Agriculture, Shahrekord University.
4. Professor, Department of Chemistry, Isfahan University of Technology

**(Received: 2019/08/31 Accepted: 2020/06/27)**

Determination of antibiotic residues in food including honey is very important. To date, various methods have been developed to determination of antibiotics in honey and other animal products. In recent years, the fabrication of electrochemical biosensors in combination with nanomaterial has attracted much attention. In the present study, an impedimetric biosensor based on nanomaterial including reduced oxide grapheme (RGO) and gold nanoparticles (GNP) was developed for antibiotic detection of tetracycline in honey samples. Cyclic voltammetry and electrochemical impedance spectroscopy techniques were used to evaluate the working electrode surface. Peak current values in different modes were 0.034, 0.048, 0.09, 0.020 and 0.015  $\mu$ A for unmodified electrode, RGO, GNP, aptamer and antibiotic, respectively. Biosensor characteristics including reproducibility, reproducibility, stability, and selectivity were evaluated using resistance charge transfer data, the results showed that they were acceptable. In order to calculate recovery percentage, concentrations of  $1 \times 10^{-9}$  and  $1 \times 10^{-11}$  M were prepared from tetracycline and injected into honey samples. The results showed that the proposed biosensor provides 94.1% to 104.4% recovery rate for tetracycline in honey samples.

**Keyword:** Pencil Graphite Electrodes, Antibiotic, Gold Nanoparticles, Electrochemical Impedance, Electrochemical Transducer.

---

\* Corresponding Author E-Mail Address: Izadi.1365@yahoo.com